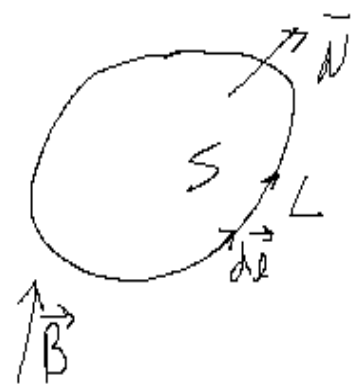


Lei de Indução de Faraday; verificação experimental e funcionamento do transformador.

LET 2021



Lei de indução de Faraday

$$\phi = \int_S \vec{B} \cdot \vec{n} dS$$

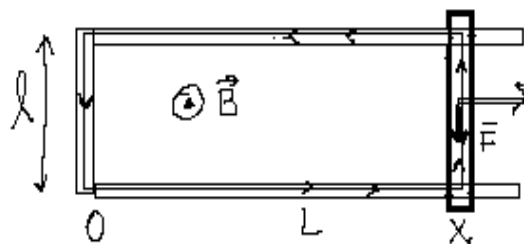
$$\mathcal{E}_i = - \frac{d\phi}{dt}$$

$$\mathcal{E}_i = \oint_L \vec{F}_i \cdot d\vec{l} = \oint \frac{\vec{F}_i}{q} \cdot d\vec{l}$$

Origem do fenômeno:

Força de Lorentz $\vec{F} = q\vec{E} + q\vec{v} \times \vec{B}$ $\vec{F}_i = \vec{E} + \vec{v} \times \vec{B}$

- ϕ pode variar com campo B estático e circuito a variar:



$$\vec{v} = \frac{dx}{dt} \hat{x} \quad \mathcal{E}_i = \vec{F}_i = \vec{v} \times \vec{B} \quad \mathcal{E}_i = \oint_L \vec{E}_i \cdot d\vec{l} = -vBl$$

$$\phi = Blx \rightarrow \frac{d\phi}{dt} = Bl \frac{dx}{dt} \Rightarrow \frac{d\phi}{dt} = -\mathcal{E}_i$$

- ϕ pode variar com campo B variável e circuito estático: $\vec{v} = 0 \Rightarrow$ existe \vec{E} devido à variação de \vec{B} (indução de Faraday)

$$\vec{\nabla} \times \vec{E} = -\frac{\partial \vec{B}}{\partial t} \rightarrow \text{Equação de Maxwell}$$

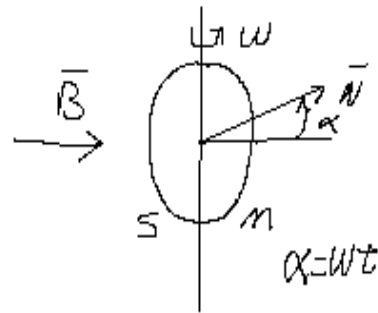


$$\int_S \vec{\nabla} \times \vec{E} \cdot \vec{N} dS = \int_S -\frac{\partial \vec{B}}{\partial t} \cdot \vec{N} dS = -\frac{d}{dt} \underbrace{\int_S \vec{B} \cdot \vec{N} dS}_{\Phi} = -\frac{d\Phi}{dt}$$

Teorema de Stokes $\oint_L \vec{E} \cdot d\vec{l} = \mathcal{E}_i \Rightarrow \mathcal{E}_i = -\frac{d\Phi}{dt}$

Verificação experimental:

I \rightarrow \vec{B} fixo, circuito a variar:

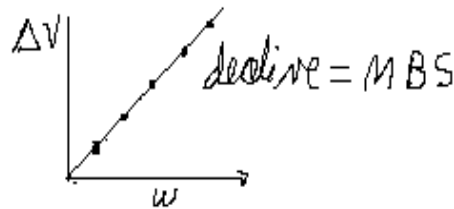


Conjunto de esferas que rodam em torno de um diâmetro

$$\Phi = N \int_S \vec{B} \cdot \vec{N} dS = NBS \cos \alpha \quad \mathcal{E}_i = -\frac{d\Phi}{dt} = -\frac{d}{dt} (NBS \cos(\omega t)) \Rightarrow$$

$$\mathcal{E}_i = NBS\omega \sin(\omega t)$$

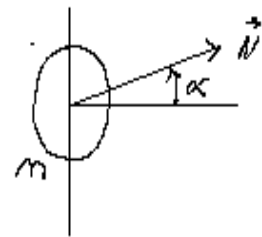
$$\Delta V_{\max} = NBS\omega$$



$$\Delta V = -\mathcal{E}_i = -NBS\omega \sin(\omega t)$$

$B \rightarrow$ gerado pelas bobinas de Helmholtz $\Rightarrow B = \frac{\mu_0 N I}{\rho} \frac{8}{5\sqrt{5}} = \frac{32\pi}{5\sqrt{5}} \frac{mT}{\ell} \times 10^{-7} \text{ Tm}$

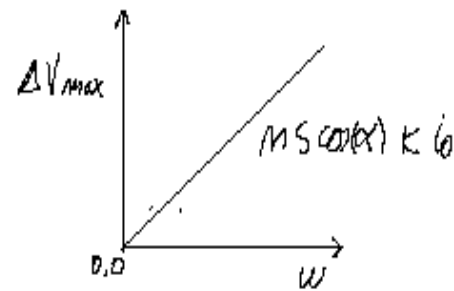
II → Circuito estático
 \vec{B} a variar no tempo $\Rightarrow \phi = \int_S \vec{B} \cdot \vec{n} ds = \phi(t)$.



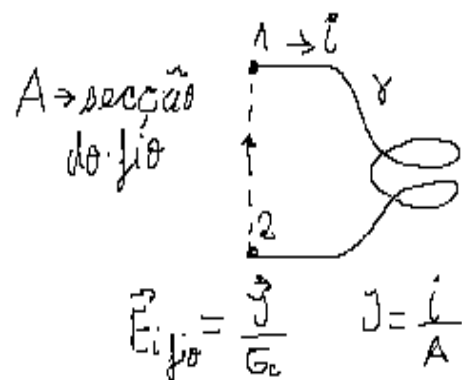
Para as m espiras circulares: $\mathcal{E}_i = - \frac{d\phi}{dt} = - \frac{d}{dt} [m \int_S \vec{B} \cdot \vec{n} ds] = - \frac{d}{dt} (m B S \cos(\alpha)) = -m S \cos(\alpha) \frac{dB}{dt}$

$B = K i = K i_0 \cos(\omega t) \Rightarrow \mathcal{E}_i = -m S \cos(\alpha) [-K i_0 \omega \sin(\omega t)] = m S \cos(\alpha) K i_0 \omega \sin(\omega t)$

$\Delta V = -\mathcal{E}_i \Rightarrow \Delta V_{max} = m S \cos(\alpha) K i_0 \omega$



Coefficientes de auto-indução e indução mútua



$$\mathcal{E}_i = \oint \vec{E}_i \cdot d\vec{l} = - \frac{d\phi}{dt} \quad \phi \propto i \Rightarrow \phi = L i \quad L \rightarrow \text{coeficiente de auto indução do circuito}$$

$$\mathcal{E}_i = \int_1^2 \vec{E}_i \cdot d\vec{l} + \int_2^1 \vec{E}_i \cdot d\vec{l} = - \frac{d\phi}{dt} = -L \frac{di}{dt}$$

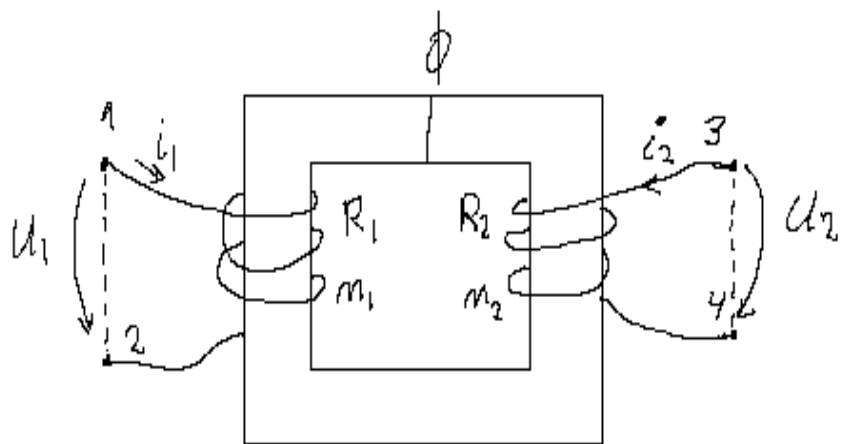
$$\int_1^2 \frac{\vec{J}}{\sigma_0} \cdot d\vec{l} = U_{12} = -L \frac{di}{dt} \rightarrow \frac{J}{\sigma_0} l = U_{12} = -L \frac{di}{dt} \rightarrow \frac{J l}{\sigma_0} = i \frac{l}{A \sigma_0} = i R$$

$[L] = H \rightarrow \text{Henry}$

resistência do fio

$$U_{12} = R i + L \frac{di}{dt}$$

Introdução ao estudo do Transformador



$$U_1 = R_1 i_1 + \frac{d\psi_1}{dt}$$

$$U_2 = R_2 i_2 + \frac{d\psi_2}{dt}$$

$$\psi_1 \propto i_1, i_2 \Rightarrow \psi_1 = L_{11} i_1 + L_{12} i_2$$

$$\psi_2 \propto i_2, i_1 \Rightarrow \psi_2 = L_{21} i_1 + L_{22} i_2$$

$L_{ii} \rightarrow$ coeficiente de auto-indução do circuito i

$L_{ij} \rightarrow$ coeficiente de indução mútua entre os circuitos i e j $L_{ij} = L_{ji}$

$$\mathcal{E}_1 = -\frac{d\psi_1}{dt} = R_1 i_1 - U_1 = -m_1 \frac{d\phi}{dt}$$

$$\mathcal{E}_2 = -\frac{d\psi_2}{dt} = R_2 i_2 - U_2 = -m_2 \frac{d\phi}{dt}$$

$$\Rightarrow \frac{R_1 i_1 - U_1}{-m_1} = \frac{d\phi}{dt}$$

$$\frac{R_2 i_2 - U_2}{-m_2} = \frac{d\phi}{dt}$$

$$\Rightarrow \frac{U_1}{m_1} = \frac{U_2}{m_2} \quad \left| \begin{array}{l} \text{se } R_1 i_1 \text{ e } R_2 i_2 \text{ desprezáveis} \\ \text{face a } U_1 \text{ e } U_2 \end{array} \right.$$

$$\downarrow$$

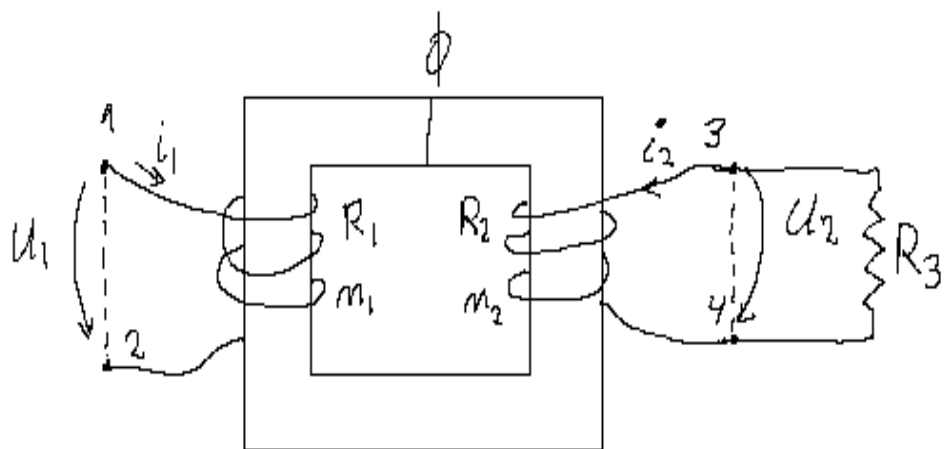
$$\frac{U_1}{U_2} = \frac{m_1}{m_2}$$

Leido transformador ideal

$$U_1 = R_1 i_1 + \frac{d\psi_1}{dt} = R_1 i_1 + L_{11} \frac{di_1}{dt} + L_{12} \frac{di_2}{dt}$$

$$U_2 = R_2 i_2 + \frac{d\psi_2}{dt} = R_2 i_2 + L_{21} \frac{di_1}{dt} + L_{22} \frac{di_2}{dt}$$

Introdução ao estudo do Transformador, continuação



$$U_1 = R_1 i_1 + \frac{d\psi_1}{dt} = R_1 i_1 + L_{11} \frac{di_1}{dt} + L_{12} \frac{di_2}{dt}$$

$$U_2 = R_2 i_2 + \frac{d\psi_2}{dt} = R_2 i_2 + L_{21} \frac{di_1}{dt} + L_{22} \frac{di_2}{dt}$$

$$U_2 = -R_3 i_2$$

$$L_{12} = L_{21} = L_M$$

Considerando grandezas sinusóides:

$$\begin{cases} \bar{U}_1 = R_1 \bar{I}_1 + j\omega L_{11} \bar{I}_1 + j\omega L_M \bar{I}_2 \\ \bar{U}_2 = R_2 \bar{I}_2 + j\omega L_M \bar{I}_1 + j\omega L_{22} \bar{I}_2 \\ \bar{U}_2 = -R_3 \bar{I}_2 \end{cases}$$

$$\begin{cases} j\omega L_M \bar{I}_1 = -\bar{I}_2 (R_2 + R_3 + j\omega L_{22}) \\ \bar{U}_1 = \frac{(R_1 + j\omega L_{11})(R_2 + R_3 + j\omega L_{22})}{j\omega L_M} (-\bar{I}_2) + j\omega L_M \bar{I}_2 \end{cases}$$

$$\begin{cases} \bar{U}_2 = -R_3 \frac{\bar{U}_1}{j\omega L_M - \frac{(R_1 + j\omega L_{11})(R_2 + R_3 + j\omega L_{22})}{j\omega L_M}} \\ \frac{\bar{U}_2}{\bar{U}_1} = + \frac{R_3 j\omega L_M}{\omega^2 L_M^2 + R_1(R_2 + R_3) + j\omega [L_{11}(R_2 + R_3) + L_{22}R_1] - \omega^2 L_{11}L_{22}} \end{cases}$$

Casos particulares:

$$\lim_{R_3 \rightarrow \infty} \left(\frac{\bar{u}_2}{\bar{u}_1} \right) = \lim_{R_3 \rightarrow \infty} \left(\frac{R_3 j\omega L_M}{\omega^2 L_M^2 + R_1(R_2 + R_3) + j\omega[L_{11}(R_2 + R_3) + L_{22}R_1] - \omega^2 L_{11}L_{22}} \right) = \frac{j\omega L_M}{R_1 + j\omega L_{11}}$$

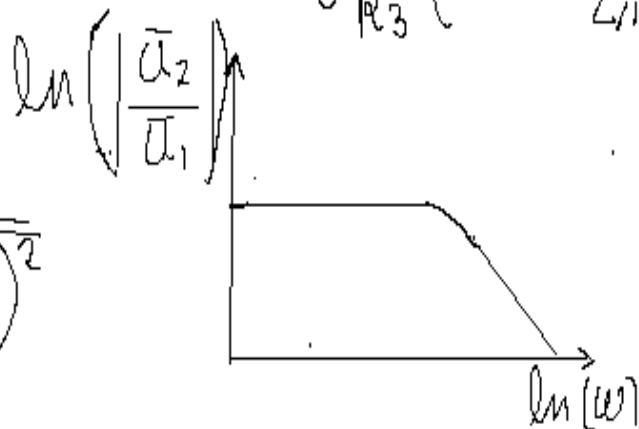
$$\lim_{\substack{R_3 \rightarrow \infty \\ \omega L_{11} \gg R_1}} \left(\frac{\bar{u}_2}{\bar{u}_1} \right) = \frac{L_M}{L_{11}} \approx \frac{m_2}{m_1}$$

fator

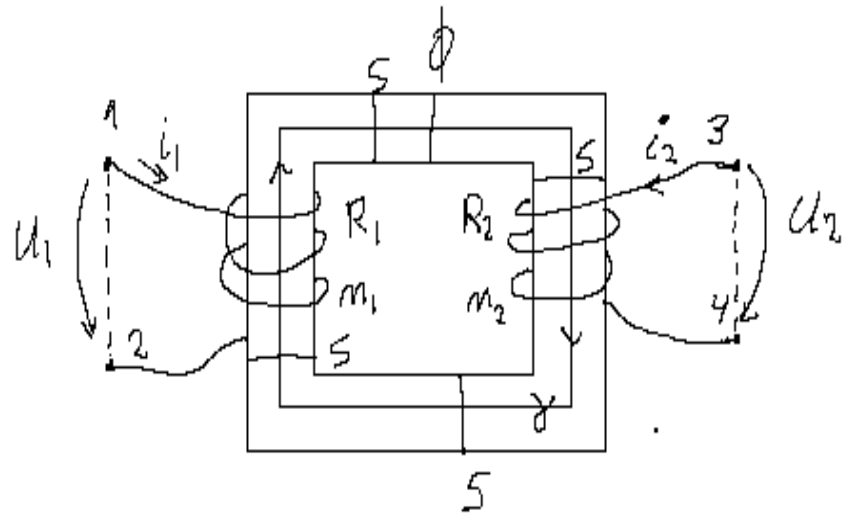
$k \rightarrow$ fator de acoplamento magnético
 $k^2 = \frac{L_M^2}{L_{11}L_{22}} \leq 1$

$$\lim_{\substack{R_1 \rightarrow 0 \\ R_2 \rightarrow 0}} \left(\frac{\bar{u}_2}{\bar{u}_1} \right) = \frac{R_3 j\omega L_M}{\omega^2 (L_M^2 - L_{11}L_{22}) + j\omega L_{11}R_3} = \frac{L_M}{L_{11}} \frac{1}{1 + \frac{j\omega}{R_3} (L_{22} - \frac{L_M^2}{L_{11}})} = \frac{L_M}{L_{11}} \frac{1}{1 + j\omega \frac{L_{22}}{R_3} (1 - k^2)}$$

$$\lim_{\substack{R_1 \rightarrow 0 \\ R_2 \rightarrow 0}} \left| \frac{\bar{u}_2}{\bar{u}_1} \right| = \frac{L_M}{L_{11}} \frac{1}{\sqrt{1 + \omega^2 \left(\frac{L_{22}}{R_3} \right)^2 (1 - k^2)^2}}$$



Determinação aproximada dos coeficientes de indução.



$$\left. \begin{aligned} \Psi_1 &= L_{11} i_1 + L_M i_2 = M_1 \phi \\ \Psi_2 &= L_M i_1 + L_{22} i_2 = M_2 \phi \end{aligned} \right\} \text{sem dispersão das linhas de força}$$

Cálculo de ϕ :

Teorema de Ampère: $\oint \vec{H} \cdot d\vec{l} = M_1 i_1 + M_2 i_2$

\downarrow

$$H Y = M_1 i_1 + M_2 i_2$$

$$B = \mu H \quad \frac{B}{\mu} Y = M_1 i_1 + M_2 i_2 \Rightarrow B = \frac{\mu}{Y} (M_1 i_1 + M_2 i_2)$$

$$\phi \approx B \cdot S = \frac{\mu S}{Y} (M_1 i_1 + M_2 i_2) \Rightarrow L_{11} = \left. \frac{M_1 \phi}{i_1} \right|_{i_2=0} = \frac{\mu S}{Y} m_1^2, \quad L_{22} = \left. \frac{M_2 \phi}{i_2} \right|_{i_1=0} = \frac{\mu S}{Y} m_2^2$$

$$L_M = \left. \frac{M_1 \phi}{i_2} \right|_{i_1=0} = \frac{\mu S}{Y} m_1 m_2$$

$$K = \frac{L_M}{\sqrt{L_{11} L_{22}}} = 1 \rightarrow \text{Porque não se considerou a dispersão das linhas de força.}$$

FIM